



## Farklı uç sınır koşullarına sahip kirişin Carrera Birleşik Formülasyon (CUF) çerçevesinde statik analizi

### Static analysis of a beam with different end boundary conditions via Carrera Unified Formulation (CUF)

Esra Eylem Karataş<sup>1,\*</sup> 

<sup>1</sup> Gaziantep Üniversitesi, İnşaat Mühendisliği Bölümü, 27310, Gaziantep Türkiye

#### Özet

Bu çalışma kapsamında düzgün yayılı yük etkisinde farklı uç sınır koşullarına sahip dikdörtgen kesitli bir kirişin, birleşik kiriş teorilerinden biri olan Carrera Birleşik Formülasyon (CUF) çerçevesinde lineer statik analizi incelenmiştir. Kesit yer değiştirme alanının birleşik formülasyonu, kesit düzlemi üzerinde tanımlanmış eşdeğer Taylor ve Lagrange tipi açılım fonksiyonları ile ayrı ayrı ifade edilmiştir. Yönetici denklemler ve sonlu elemanlar formülasyonunun elde edilmesinde virtüel iş prensibi kullanılmıştır. İlk olarak, hem Taylor tipi hem de Lagrange tipi açılım fonksiyonlarının ayrı ayrı kullanılması ile farklı uç sınır koşullarına ait dikdörtgen kesitli kiriş için bir yakınsama çalışması ve elde edilen sayısal sonuçların güvenilirliğini test etmek amacı ile literatürden alınan analitik çözümler ile bir karşılaştırma çalışması yapılmıştır. Daha sonra, uygun olan açılım fonksiyonu kullanılarak CUF çerçevesinde, örnek problemlerin lineer statik analizi yapılmış, sayısal sonuçlar tablo ve grafikler ile sunulmuştur. Bu çalışmada kullanılan bilgisayar algoritması MUL2 grubu tarafından geliştirilmiş olup, literatürde mevcut olan pek çok çalışma ile test edilmiştir.

**Anahtar kelimeler:** Geliştirilmiş kiriş teorisi, Carrera birleşik formülasyon (CUF), Sonlu elemanlar yöntemi

#### 1 Giriş

Son iki yüzyıldan bu yana çok sayıda üç boyutlu mühendislik problemlerinin çözümünde bir boyutlu kiriş teorileri kullanılmıştır. Euler-Bernoulli ve Timoshenko kiriş teorileri bilinen ilk klasik kiriş teorileri olup sadece eğilme etkilerinin dikkate alındığı ve malzemenin izotrop kabul edildiği teorilerdir. Euler-Bernoulli kiriş teorisi enine kayma deformasyonlarını dikkate almayan buna karşılık ince cidarlı kirişler için oldukça iyi sonuçlar veren bir teoridir. Timoshenko kiriş teorisi ise kiriş kesiti boyunca düzgün yayılı bir kayma dağılımını dikkate alırken öngörülen bu kaymanın, bir kayma düzeltme faktörü kullanılarak düzeltilmesini gerektirmektedir. Her iki teorinin ortak özelliği; kesit çarpılması, burulma-eğilme çifti ve bölgesel geometrik ve mekanik sınır koşulları gibi klasik olmayan etkileri dikkate almamalarıdır [1]. Klasik olmayan bu etkiler genellikle malzemenin anizotrop olmasından ve yapı elemanının küçük narinlik katsayısına sahip olmasından kaynaklanmaktadır. Fakat son yıllarda sayısal yöntemler özellikle de sonlu elemanlar yöntemi, klasik kiriş teorilerinin kullanımını çok daha başarılı ve çekici hale getirmiştir. Geometrik ve mekanik olarak çok farklı sınır koşullarına sahip kompleks yapıları çözmeye olasılığı, binlerce serbestlik

#### Abstract

In this study, linear static analysis of a rectangular beam with compact cross-section for different end boundary conditions subjected to uniformly distributed load is analyzed within the framework of Carrera Unified Formulation (CUF), which is one of the unified beam theory. The unified formulation of cross-section displacement field is expressed by employing both Taylor and Lagrange type expansion functions defined over the cross-section. The Principle of Virtual Displacements (PVD) is used to obtain the governing differential equations and the Finite Element formulation. First, by using separately both Taylor and Lagrange types of expansion functions for a rectangular beam with compact cross-section with different end boundary conditions study of convergence and comparison with results obtained from the analytical solutions in the literature is performed in order to examine the reliability of the results obtained. Then, using the appropriate expansion function, linear static analysis of sample problems is made within the framework of CUF and numerical results are presented with the help of tables and graphics. The computer algorithm used in the present paper is developed by MUL2 group and tested by many studies, available in the relevant literature.

**Keywords:** Refined beam theory, Carrera unified formulation (CUF), Finite element method

derecesi içeren pek çok karmaşık problemin kabul edilebilir bir doğrulukla analiz edilmesini mümkün kılmıştır [2]. Bununla birlikte, karmaşık kesit geometrisine sahip yapı elemanları için kesin bir gerilme-şekil değiştirme alanı elde etmenin zorluğu hala bir sorun olarak güncelliğini korumakta olup bu sebeple birleşik kiriş teorilerine ya da yüksek mertebe/geliştirilmiş kiriş teorilerine olan ihtiyaç artmaktadır. Yüksek mertebe kiriş teorileri, yer değiştirme bileşenlerinin kiriş kalınlığı boyunca açılımlarında yüksek mertebe polinomlar kullanılmaktadırlar.

Fonksiyonel derecelenmiş kirişlerin serbest titreşim analizi problemleri, literatürde çeşitli yüksek mertebe kayma deformasyonu teorileri kullanılarak ele alınmıştır [3, 4]. Levinson [5, 6], 3. mertebe kayma deformasyonu teorisine dayanarak izotrop plak ve kirişlerin denge denklemlerini elde etmek için bir vektör yaklaşımı kullanmıştır. Wang ve Wang [7] ve Gao ve Wang [8] tarafından önerilen geliştirilmiş kiriş teorisi, dördüncü mertebeden bir diferansiyel denklem ve ikinci mertebeden bir transandant denklemden oluşmasına karşın, bu kompleks kiriş teorisi ankastre uç için yer değiştirme kısıtlarını düzgün bir şekilde ele almakta yetersiz kalmaktadır. Literatürde, kayma düzeltme faktörü, varyasyonel asimptotik çözüm, genelleştirilmiş kiriş teorisi ve kesit çarpılması gibi yüksek

\* Sorumlu yazar / Corresponding author, e-posta / e-mail: ekaratas@yildiz.edu.tr (E. E. Karataş)

Geliş / Received: 24.07.2020 Kabul / Accepted: 23.11.2020 Yayınlanma / Published: 15.01.2021

doi: 10.28948/ngumuh.764252

mertebe etkileri dikkate alan diğer çalışmalar da mevcuttur [9-14].

Bu çalışmada kullanılan Carrera Birleşik Formülasyonu (CUF), değişken sayıda yer değiştirme bilinmeyi içeren çok sayıda kiriş teorisinin, kısa bir gösterim yoluyla ve birkaç temel çekirdeğe referans gösterilmesi aracılığı ile geliştirilmesine ve elde edilmesine olanak sağlamaktadır. Ayrıca, yüksek mertbe kiriş teorileri de oldukça kolay bir şekilde CUF çerçevesinde ele alınabilmektedir. İlâveten, çok çeşitli kiriş teorilerinin doğruluğu, bu formülasyonun bünyesinde modern tekniklerin kullanılmasına imkan sağlaması sebebi ile hiyerarşik ve/veya aksiyomatik anlamda test edilebilmektedir. Sahip olduğu bu özellikler sebebiyle CUF, yapılan sayısal hesaplamalarda araştırmacıya hem kolaylık sağlamakta hem de zamandan ciddi anlamda tasarruf sağlanmasına imkan sağlamaktadır. Bu formülasyon çerçevesinde, bilinmeyen değişken sayısı problemin serbest parametresi olarak tanımlanmaktadır. Ele alınan herhangi bir kiriş problemi için (dolü kesitler, ince cidarlı kesitler, statik ve dinamik problemler, vs.) bilinmeyen değişkenlerden uygun bir seçim yapılarak üç boyutlu gerilme-şekil değiştirme alanı elde edilebilmektedir [2].

Bu çalışma kapsamında düzgün yayılı yük etkisinde farklı uç sınır koşullarına sahip dikdörtgen kesitli bir kirişin lineer statik analizi CUF çerçevesinde yapılmıştır. Kesit yer değiştirme alanının birleşik formülasyonu, kesit düzlemi üzerinde tanımlanmış eşdeğer Taylor ve Lagrange tipi açılım fonksiyonları ile ayrı ayrı tanımlanmıştır. Yönetici denklemler ve sonlu elemanlar formülasyonunun elde edilmesinde Virtüel İş Prensipleri kullanılmıştır. Öncelikle farklı uç sınır koşulları için bir yakınsama çalışması ve elde edilen sayısal sonuçların güvenilirliğini test etmek amacı ile literatürden alınan bazı analitik ve sayısal sonuçlar ile bir karşılaştırma çalışması yapılmıştır. Daha sonra aynı kirişin, Taylor ve Lagrange tipi açılım fonksiyonlarının ayrı ayrı kullanılması durumuna ait sayısal çalışma yapılmış, sonuçlar tablo ve grafikler ile sunulmuştur.

## 2 Carrera birleşik formülasyon (CUF) ve sonlu eleman formülasyonu

Ele alınan dikdörtgen kirişin çözüm bölgesi (Şekil 1) aşağıda verilen eşitlik ile ifade edilmektedir.

$$-b/2 \leq x \leq b/2, 0 \leq y \leq L, -h/2 \leq z \leq h/2 \quad (1)$$

Burada  $L$ ,  $b$  ve  $h$  sırası ile ilgili kirişin açıklık uzunluğu, kesit genişliği ve yüksekliğidir. Genel yer değiştirme vektörü

$$u(x, y, z) = [u_x \quad u_y \quad u_z]^T \quad (2)$$

eşitliği ile kurulmuştur. Gerilme şekil değiştirme bileşenleri Denklem (3)'de verilen ifadeler şeklinde gruplandırılmışlardır.

$$\sigma_p = [\sigma_{zz} \quad \sigma_{xx} \quad \sigma_{zx}]^T, \quad \varepsilon_p = [\varepsilon_{zz} \quad \varepsilon_{xx} \quad \varepsilon_{zx}]^T \quad (3)$$

$$\sigma_n = [\sigma_{zy} \quad \sigma_{xy} \quad \sigma_{yy}]^T, \quad \varepsilon_n = [\varepsilon_{zy} \quad \varepsilon_{xy} \quad \varepsilon_{yy}]^T$$

Burada alt indis "p" ve "n" sırası ile kesit düzlemine dik düzlemlerdeki terimleri ve kesit düzlemindeki terimleri

temsil etmektedirler. Yer değiştirmelerin küçük kabul edilmesi durumları için şekil değiştirme-yer değiştirme ilişkileri Denklem (4)'de ifade edildiği gibidir.

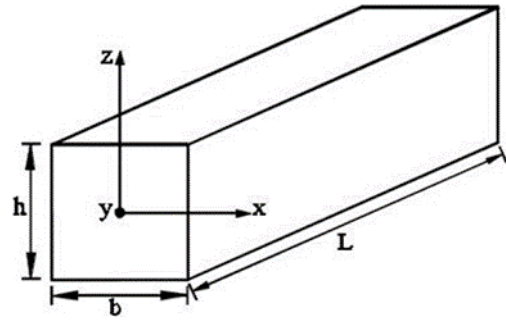
$$\varepsilon_p = D_p u$$

$$\varepsilon_n = D_n u = (D_{n\Omega} + D_{ny})u \quad (4)$$

Burada  $\Omega$  sembolü kiriş kesitini;  $D_p$ ,  $D_{n\Omega}$  ve  $D_{ny}$  sembolleri ise Denklem (5) ile verilen lineer diferansiyel operatörleri temsil etmektedir.

$$D_p = \begin{bmatrix} 0 & 0 & \frac{\partial}{\partial z} \\ \frac{\partial}{\partial x} & 0 & 0 \\ \frac{\partial}{\partial z} & 0 & \frac{\partial}{\partial x} \end{bmatrix}, \quad D_{n\Omega} = \begin{bmatrix} 0 & \frac{\partial}{\partial z} & 0 \\ 0 & \frac{\partial}{\partial x} & 0 \\ 0 & 0 & 0 \end{bmatrix},$$

$$D_{ny} = \begin{bmatrix} 0 & 0 & \frac{\partial}{\partial y} \\ \frac{\partial}{\partial y} & 0 & 0 \\ 0 & \frac{\partial}{\partial y} & 0 \end{bmatrix} \quad (5)$$



Şekil 1. Ele alınan dikdörtgen kirişin geometrisi

Kiriş malzemesinin lineer elastik olması durumunda Genelleştirilmiş Hooke Kanunu geçerli olduğu için bünye denklemleri, Denklem (6)'da verildiği gibidir.

$$\sigma = C\varepsilon \quad (6)$$

Burada  $\sigma$  gerilme vektörünü,  $\varepsilon$  şekil değiştirme vektörünü ve  $C$  katsayılar matrisini temsil etmektedir. Denklem (3) ve Denklem (6) ifadelerinden aşağıda verilen eşitlik elde edilir.

$$\sigma_p = \tilde{C}_{pp}\varepsilon_p + \tilde{C}_{pn}\varepsilon_n, \quad \sigma_n = \tilde{C}_{np}\varepsilon_p + \tilde{C}_{nn}\varepsilon_n \quad (7)$$

Malzemenin izotrop olması durumu için  $\tilde{C}_{pp}$ ,  $\tilde{C}_{pn}$ ,  $\tilde{C}_{np}$  ve  $\tilde{C}_{nn}$  matrisleri aşağıda verildiği gibidir.

$$\tilde{C}_{pp} = \begin{bmatrix} \tilde{C}_{11} & \tilde{C}_{12} & 0 \\ \tilde{C}_{12} & \tilde{C}_{22} & 0 \\ 0 & 0 & \tilde{C}_{66} \end{bmatrix} \quad (8)$$

$$\tilde{C}_{pn} = \tilde{C}_{np}^T = \begin{bmatrix} 0 & 0 & \tilde{C}_{13} \\ 0 & 0 & \tilde{C}_{23} \\ 0 & 0 & 0 \end{bmatrix}$$

$$\tilde{C}_{nn} = \begin{bmatrix} \tilde{C}_{55} & 0 & 0 \\ 0 & \tilde{C}_{44} & 0 \\ 0 & 0 & \tilde{C}_{33} \end{bmatrix}$$

$[\tilde{C}]_{ij}$  katsayıları malzeme özelliklerine bağlı olup Young Modülü ve Poisson oranı ile olan ilişkisine bu çalışma kapsamında yer verilmemiştir. Bu konuda detaylı bilgiler Tasi [15] ve Reddy [16] çalışmalarında verilmiştir.

CUF çerçevesinde, üç boyutlu yer değiştirme alan denklemleri, Denklem (9) şeklinde ifade edilir.

$$u = F_\tau(x, z)u_\tau(y), \quad \tau = 1, 2, 3, \dots, M = M(N) \quad (9)$$

Burada  $F_\tau(x, z)$  kesit düzlemi üzerinde tanımlanmış açılım fonksiyonunu,  $u_\tau(y)$  kiriş eksenine bağlı genelleştirilmiş yer değiştirme vektörünü,  $M$  açılımda kullanılan terim sayısını,  $\tau$  ise Einstein toplama kuralına göre toplamı ve  $N$  formülasyonun serbest bir parametresi olup açılım mertebesini (kiriş modeli mertebesi) ifade etmektedir. Yapı elemanının kesit düzlemi üzerindeki yer değiştirme alanını modellemek için kullanılacak  $F_\tau(x, z)$  açılım fonksiyonunun ve  $M$  terim sayısının seçimi tamamen keyfi olduğu için farklı sınıflardan ve herhangi bir mertebeden fonksiyonların kullanılması mümkündür.

Bu çalışma kapsamında  $F_\tau(x, z)$  açılım fonksiyonunu tanımlamak için hem Taylor tipi hem de Lagrange tipi polinomlar kullanılmıştır. Taylor tipi modellerde, temel olarak kesit düzlemi koordinatlarına bağlı polinomları kullanan bir MacLaurin serisinden oluşan açılım fonksiyonları kullanılır. Taylor tipi modellerde açılım mertebesi (kiriş modeli mertebesi)  $N$  arttıkça, terim sayısı  $M$  de artacağı için burulma, kesit çarpılması ve enine kayma deformasyonları gibi yüksek mertebeye etkiler dikkate alınmış olacaktır. Taylor tipi açılım modellerinde polinom mertebesi, açılım mertebesi (kiriş modeli mertebesi)  $N$  ile belirlenirken, Lagrange tipi açılım modellerinde ise kesit düzlemi üzerinde alınan düğüm noktası (nod) sayısı ile belirlenir.

Genelleştirilmiş yer değiştirme vektörü  $u_\tau(y)$ , aşağıda verildiği gibi  $N_i(y)$  şekil fonksiyonu ve  $q_{\tau i}$  nodal yer değiştirme vektörü kullanılarak ifade edilebilir.

$$u_\tau(y) = N_i(y)q_{\tau i}, \quad i = 1, 2, \dots, N_{NE} \quad (10)$$

Burada  $N_{NE}$  kiriş eksenini boyunca alınan düğüm noktası (nod) sayısıdır. Şekil fonksiyonları hakkında herhangi bir açıklamaya yer verilmemiş olup bu konu hakkında daha detaylı bilgi Carrera vd. [2], Thai ve Vo [3] ve Bathe [17] çalışmalarından elde edilebilir.

Bu çalışma kapsamında kiriş eksenini boyunca, klasik 4 nodlu bir boyutlu  $B4$  sonlu eleman modellemesi (kübik elemanlar) yapılmıştır. Belirtilmelidir ki, açılım mertebesi (kiriş modeli mertebesi)  $N$ , kesit üzerinde tanımlanmış açılım fonksiyonunun mertebesi ile ilişkili iken; her bir sonlu elemana ait düğüm noktası sayısı  $N_{NE}$  ise bu noktalarda

tanımlı şekil fonksiyonlarının mertebesi ile ilişkilidir. Yine bu çalışma kapsamında Lagrange tipi açılım modellemeleri için, 9 nodlu Lagrange kuadratik elemanları (L9) kullanılmıştır.

Statik problemler için virtüel iş prensibi aşağıda verildiği gibi ifade edilir:

$$\delta L_{int} = \int (\delta \varepsilon_p^T \sigma_p + \delta \varepsilon_n^T \sigma_n) dV = \delta L_{ext} \quad (11)$$

Burada  $\delta$ ,  $L_{int}$  ve  $L_{ext}$  sırasıyla virtüel varyasyon operatörü, şekil değiştirme enerjisi ve dış kuvvetlerin işi şeklinde tanımlanır. Denklem (4), (7), (9) ve (10) ifadeleri, Denklem (11)'de yerine yazılır ve gerekli düzenlemeler yapırsa aşağıdaki ifade elde edilir.

$$\delta L_{int} = \delta q_{\tau i}^T K^{ijrs} q_{sj} \quad (12)$$

Burada  $K^{ijrs}$  rijitlik matrisidir.

### 3 Sayısal sonuçlar

Bu çalışma kapsamında düzgün yayılı yük etkisinde farklı uç sınır koşullarına sahip dikdörtgen kesitli bir kirişin lineer statik analizi CUF çerçevesinde incelenmiştir. Üç boyutlu yer değiştirme alan denklemlerindeki açılım fonksiyonu  $F_\tau(x, z)$  için iki farklı kiriş modelinin (Taylor ve Lagrange tipi açılım modelleri) ayrı ayrı tanımlanması durumları ele alınmıştır. Birinci problemde basit kiriş durumu, ikinci problemde ise aynı kirişin iki ucunun ankastre olması durumu ele alınmıştır. Sayısal hesaplamalarda, ele alınan kirişe ait geometrik parametreler  $b = 0.2 \text{ m}$ ,  $h = 2 \text{ m}$  ve  $L = 10 \text{ m}$ , homojen- izotrop malzeme parametreleri Elastisite modülü  $E = 71.7 \text{ GPa}$  ve Poisson oranı  $\nu = 0.3$ . ve şiddeti  $q = 10 \text{ N/m}$  olan düzgün yayılı yük seçilmiştir. Problemlere ait sayısal sonuçlara geçmeden önce, bir yakınsama çalışması ve elde edilen sayısal sonuçların güvenilirliğini test etmek amacı ile literatürden alınan analitik çözümler ile bir karşılaştırma çalışması yapılmıştır. Yakınsama kriteri olarak, ele alınan kirişin açıklık ortasındaki kesitinin ağırlık merkezindeki düşey yer değiştirme dikkate alınmıştır. Ele alınan problemlerde yakınsama çalışması öncelikle kiriş modelinin keyfi mertebeden bir Taylor tipi açılım modeli (TE) olması durumunda, ardından ise Lagrange tipi bir açılım modeli (LE) olması durumu için ayrı ayrı yapılmıştır. Elde edilen sayısal sonuçlar aşağıda verilmiştir.

#### 3.1 Basit kiriş problem

##### 3.1.1 Yakınsama çalışması

Kiriş modelinin keyfi mertebeden bir TE olması durumuna ait elde edilen sayısal sonuçlar ve bu sonuçların literatürden alınan analitik çözümler ile karşılaştırılması Tablo 1'de verilmiştir. CUF, kiriş modeli mertebesini serbest bir parametre olarak ele alan bir formülasyon olduğu için, yüksek mertebeden kiriş teorilerini elde etmek için ilave bir formülasyona ihtiyaç duyulmamaktadır. Euler-Bernoulli ve Timoshenko gibi klasik kiriş teorileri de CUF çerçevesinde, TE modelinin özel durumları olarak elde edilmektedirler [2]. Tablo 1 ve 2'de, elde edilen sayısal sonuçlar,

Denklem(13)'de Timoshenko ve Goodier [18] çalışmasında verilen analitik çözümden elde edilen kesin çözüm ile karşılaştırılmıştır. Ayrıca, CUF formülasyonunun özel bir hali olarak Euler-Bernoulli kiriş teorisi (EBKT)'ne ait sayısal sonuçlarda örnek olması bakımından Tablo 1'de verilmiştir.

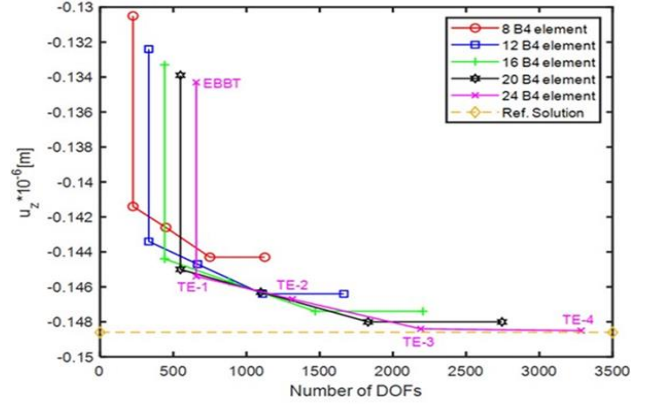
$$\delta = \frac{5 q \left(\frac{L}{2}\right)^4}{24 E I_x} \left[ 1 + \frac{12 (h/2)^2}{5 (L/2)^2} \left(\frac{4}{5} + \nu\right) \right] \quad (13)$$

**Tablo 1.** Farklı mertebeden TE modelleri ve sonlu eleman sayısı için düşey yer değiştirme ( $u_z$ ) yakınsaması ( $x = 0, y = L/2, z = 0$ )

Model	$u_z \times 10^{-6}$ (m)	Hata (%)	Serbestlik Serecesi Sayısı (SDS)	Sonlu eleman sayısı
Analitik çöz. (13)	-0.1486	-	-	
EBKT	-0.1305	12.1803	225	
TE - 1	-0.1414	4.8452	225	
TE - 2	-0.1426	4.0377	450	8 B4
TE - 3	-0.1443	2.8937	750	
TE - 4	-0.1443	2.8937	1125	
EBKT	-0.1324	10.9017	333	
TE - 1	-0.1434	3.4993	333	
TE - 2	-0.1447	2.6245	666	12 B4
TE - 3	-0.1464	1.4805	1110	
TE - 4	-0.1464	1.4805	1665	
EBKT	-0.1333	10.2961	441	
TE - 1	-0.1444	2.8264	441	
TE - 2	-0.1457	1.9515	882	
TE - 3	-0.1474	0.8075	1470	16 B4
TE - 4	-0.1474	0.8075	2205	
EBKT	-0.1339	9.8923	549	
TE - 1	-0.1450	2.4226	549	
TE - 2	-0.1463	1.5478	1098	20 B4
TE - 3	-0.1480	0.4038	1830	
TE - 4	-0.1480	0.4038	2745	
EBKT	-0.1343	9.6231	657	
TE - 1	-0.1454	2.1534	657	
TE - 2	-0.1467	1.2786	1314	24 B4
TE - 3	-0.1484	0.1346	2190	
TE - 4	-0.1485	0.0673	3285	

Tablo 1'deki sayısal verilerden, TE modeli için, açılım mertebesinin artması ile analitik çözüme yakınsamanın oldukça iyi sağlandığı görülmektedir. Örneğin, kiriş eksenini boyunca alınan 24 adet 4 nodlu B4 tipi sonlu eleman modellenmesi (24 B4) için 4.mertebeden TE modeli (TE - 4) kullanılması durumunda, analitik çözüme yakınsama

%0.0673 hata ile gerçekleşmektedir. Yine aynı tip sonlu eleman modellenmesi için (24 B4), EBKT ile analitik çözüme yakınsama %9.6231 hata ile gerçekleşmektedir. Dolayısıyla klasik kiriş teorilerinin, yüksek mertebeden etkileri (kesit çarpılması, kayma şekil değiştirmesi, burulma, vs.) dikkate alınmadığı bu karşılaştırmadan da görülmektedir.



**Şekil 2.** Farklı mertebeden TE modelleri ve sonlu eleman sayısı için düşey yer değiştirme ( $u_z$ ) yakınsaması ( $x = 0, y = L/2, z = 0$ )

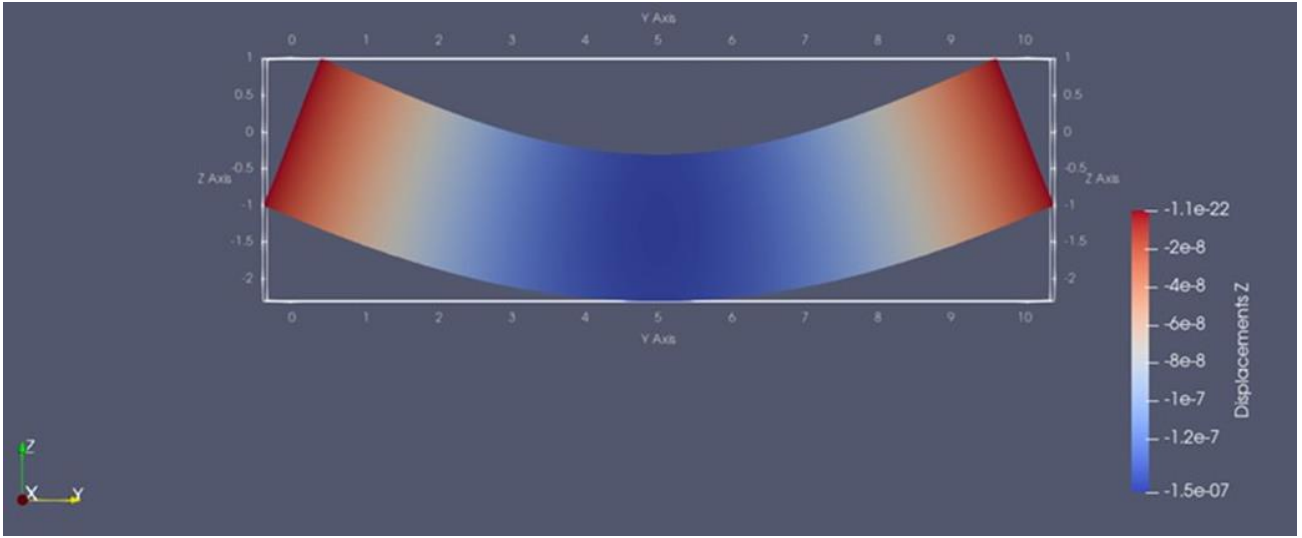
Şekil 2, TE modeli kullanılması durumunda açılım mertebesinin artması ile SDS'de de artış olacağını göstermektedir. Bu durum hesaplama yükünün ve süresinin artmasına sebep olacaktır.

Tablo 2'de, kiriş modelinin LE olması durumuna ait elde edilen sayısal sonuçlar ve bu sonuçların analitik çözüm ile karşılaştırılması verilmiştir. Tablodan görüleceği üzere LE modelinin kullanılması durumunda, kesit düzlemi üzerinde alınan alt bölge sayısının artırılması (kesit üzerinde nod sayısının artırılması) analitik çözüme yakınsamayı oldukça iyi sağlamaktadır. 24B4 sonlu eleman modellenmesi ve LE - 3L9 (3 adet 9 nodlu Lagrange kuadratik eleman) LE modelinin kullanılması durumunda analitik çözüme yakınsama, TE - 4 Taylor tipi bir açılım modelinin kullanılması durumu ile benzer sonuç vermekte olup, hata %0.0673'dür. TE modelinde bu hata oranına 3285 SDS ile yaklaşılırken, LE modelinde bu sayı 4599'dur.

LE modelleri kullanılması durumunda, kesit düzlemi üzerinde alınan alt bölge sayısı artırıldıkça, bir başka ifade ile kesit düzlemi üzerinde nod sayısı artırıldıkça, analitik çözüme yakınsama daha fazla olmakla birlikte SDS'de artış göstermektedir. Bu durum Şekil 4'de açık bir şekilde görülmektedir.

Sonuç olarak ele alınan basit kiriş problemi için, TE modelinin LE modeline göre analitik çözüme aynı hata oranı ve fakat daha az sayıda SDS ile yakınsadığı görülmüştür. Bu sebeple bu çalışmanın bundan sonraki aşamalarında basit kiriş problemi için yapılacak sayısal hesaplamalarda, farklı mertebeden TE modelleri kullanılacaktır. Bu çalışmalarda kiriş eksenini 24 adet B4 tipi sonlu elemanlar (24B4) ile modellenecek olup, TE modelinin farklı mertebelerinin, ele alınan basit kiriş probleminin statik analizi üzerindeki etkileri incelenecektir.

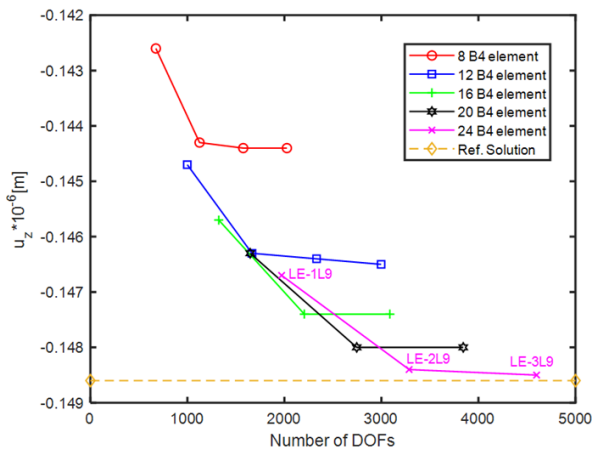




Şekil 3. 24 B4 sonlu eleman modellemesi için TE – 4 tipi açılımına ait kiriş deformasyonu

Tablo 2. Farklı LE modelleri ve sonlu eleman sayısı için düşey yer değiştirme ( $u_z$ ) yakınsaması ( $x = 0, y = L/2, z = 0$ )

Model	$u_z \times 10^{-6}$ (m)	Hata (%)	SDS	Sonlu eleman sayısı
Analitik çöz. (13)	-0.1486	-	-	-
LE – 1L9	-0.1426	4.0377	675	
LE – 2L9	-0.1443	2.8937	1125	8 B4
LE – 3L9	-0.1444	2.8264	1575	
LE – 4L9	-0.1444	2.8264	2025	
LE – 1L9	-0.1447	2.6245	999	
LE – 2L9	-0.1463	1.5478	1665	12 B4
LE – 3L9	-0.1464	1.4805	2331	
LE – 4L9	-0.1465	1.4132	2997	
LE – 1L9	-0.1457	1.9515	1323	
LE – 2L9	-0.1474	0.8075	2205	16 B4
LE – 3L9	-0.1474	0.8075	3087	
LE – 1L9	-0.1463	1.5478	1647	
LE – 2L9	-0.1480	0.4038	2745	20 B4
LE – 3L9	-0.1480	0.4038	3843	
LE – 1L9	-0.1467	1.2786	1971	
LE – 2L9	-0.1484	0.1346	3285	24 B4
LE – 3L9	-0.1485	0.0673	4599	



Şekil 4. Farklı LE modelleri ve sonlu eleman sayısı için düşey yer değiştirme ( $u_z$ ) yakınsaması ( $x = 0, y = L/2, z = 0$ )

### 3.1.2 Basit kiriş statik analiz

Ele alınan basit kirişin kritik kesitlerinde gerilme ve şekil değiştirme analizi CUF çerçevesinde farklı mertebeden TE modeller kullanılarak yapılmıştır. Söz konusu analizlerde gerilme ve şekil değiştirmelerin kalınlık ve genişlik boyunca değişimleri incelenmiştir. Elde edilen sonuçlar aşağıda verilmiştir.

Şekil 5’de enine kayma gerilmesi  $\sigma_{YZ}$  ve enine şekil değiştirme  $\varepsilon_{YZ}$  dağılımlarının mesnet kesiti için kalınlık boyunca farklı mertebeden TE modelleri ( $N = 1 \sim 5$ ) için dağılımı görülmektedir. Kullanılan model mertebesinin ( $N$ ) hem enine kayma gerilmesi hem de enine şekil değiştirme üzerindeki büyük etkisi (özellikle  $N = 2$ ’den sonra) açık bir şekilde görülmektedir. Meritebe değerinin en az  $N = 3$  olması ile birlikte enine kayma gerilmesi ve enine şekil değiştirme değerlerinde yakınsama gerçekleşmiştir. Daha yüksek mertebeden açılım modeli kullanılması, sadece

SDS'yi ve dolayısı ile hesaplama yükünün artmasına sebep olacaktır. Şekil 5'den görüleceği üzere enine kayma gerilmesi  $\sigma_{YZ}$  ve enine şekil değiştirme  $\epsilon_{YZ}$  en büyük değerlerini mesnet kesitinin ( $y = 0$ ) ağırlık merkezinde almaktadırlar ( $x = 0, z = 0$ ).

Tablo 3'de bu iki büyüklüğün, kesit genişliği boyunca kritik noktalardaki değerleri, TE giriş modeli mertebesinin farklı değerleri için verilmiştir. Tablodan görüleceği üzere derece değerinin en az  $N = 3$  olması durumunda her iki değerde yakınsama görülmekte olup  $N = 8$  için bu değerler aşığı yukarı sabit kalmaktadır.

Şekil 6'da aksel gerilme  $\sigma_{YY}$  ve aksel şekil değiştirme  $\epsilon_{YY}$  dağılımlarının açıklık ortası kesit için kalınlık boyunca farklı mertebeden TE modelleri ( $N = 1\sim 5$ ) için dağılımı görülmektedir. Derece değerinin en az  $N = 3$  olması ile birlikte her iki büyüklük için yakınsama gerçekleşmiştir. Şekil 6'dan görüleceği üzere aksel gerilmesi  $\sigma_{YY}$  ve aksel şekil değiştirme  $\epsilon_{YY}$ , en büyük değerlerini açıklık ortası kesitinin ( $y = L/2$ ) alt ve üst liflerinde ( $x = 0, z = \pm h/2$ ) almaktadır.

Tablo 4'de bu iki büyüklüğün, üst lifler için kesit genişliği boyunca kritik noktalardaki değerleri, TE giriş modeli mertebesinin farklı değerleri için verilmiştir.

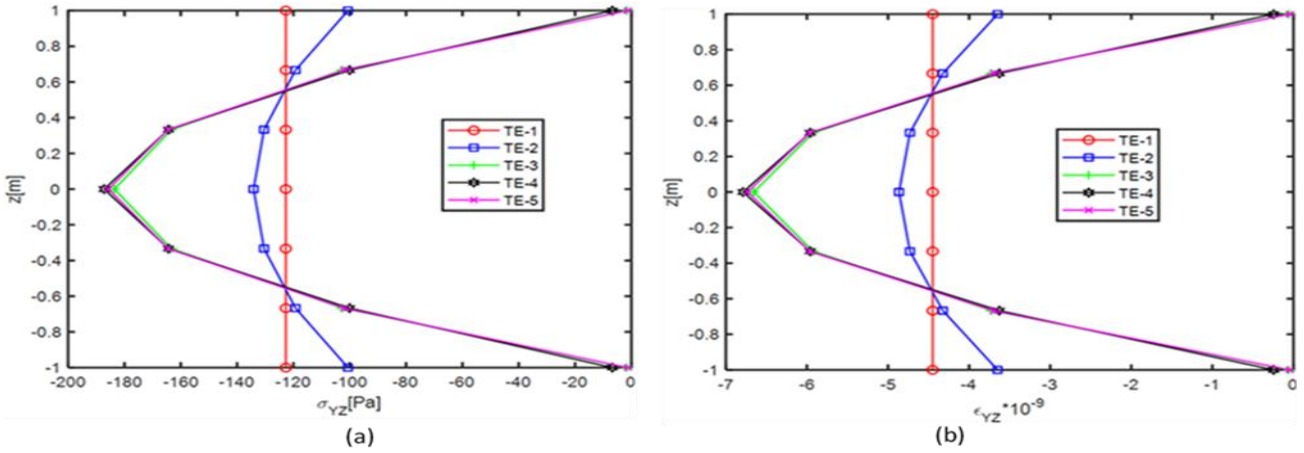
Tablodan görüleceği üzere  $N = 3$ 'den itibaren her iki değerde yakınsama görülmekte olup  $N = 4$  değerinde ise bu değerler sabit olarak kalmaktadırlar.

### 3.2 İki ucu ankastre giriş problem

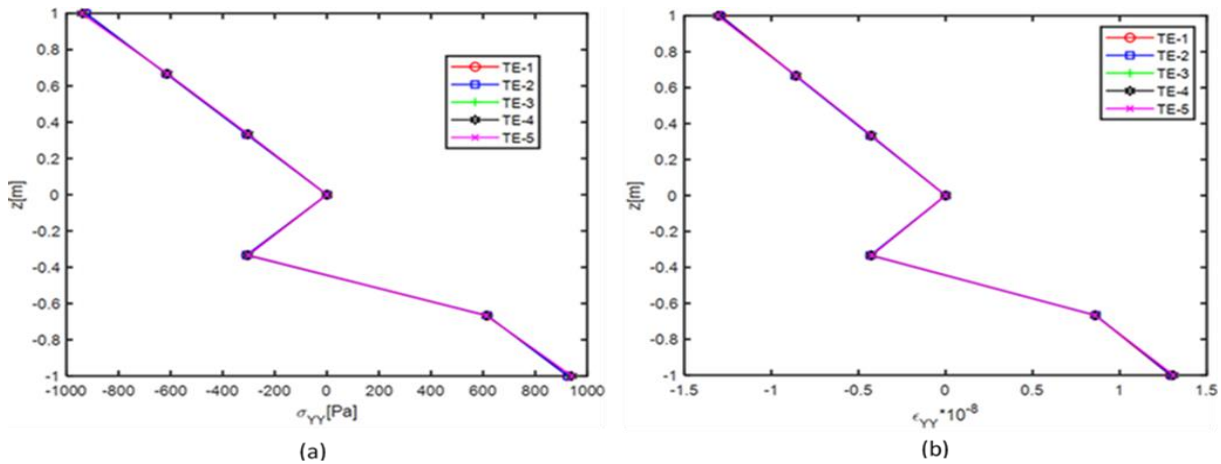
#### 3.2.1 Yakınsama çalışması

Bir önceki bölümde ele alınan basit giriş problemi için yapılan yakınsama ve elde edilen sayısal sonuçların literatürden alınan analitik çözümler ile karşılaştırılması çalışmaları bu bölümde iki ucu ankastre mesnet olan aynı giriş için de yapılmıştır. Giriş modelinin keyfi mertebeden bir TE modeli ve LE modeli olması durumlarına karşılık gelen sayısal sonuçlar ve bu sonuçların literatürden alınan analitik çözüm ile karşılaştırılmaları Tablo 5'de verilmiştir. Shi ve Voyiadjis [19] çalışmasına göre, iki ucu ankastre mesnetli düzgün yayılı yük etkisi altındaki bir girişin açıklık ortası düşey yer değiştirme değeri,  $L/h = 5$  ve Poisson oranı  $\nu = 0.3$  olması durumlarında, Denklem (14) ile elde edilir.

$$u_z = \frac{qL^4}{384EI_x} (1.47698) \quad (14)$$



Şekil 5. (a) Kalınlık boyunca enine kayma gerilmesi  $\sigma_{YZ}$ , (b) enine şekil değiştirme  $\epsilon_{YZ}$  dağılımları ( $x = 0, y = 0, z$ )



Şekil 6. (a) Kalınlık boyunca aksel gerilme  $\sigma_{YY}$ , (b) aksel şekil değiştirme  $\epsilon_{YY}$  dağılımları ( $x = 0, y = L/2, z$ )

**Tablo 3.** Farklı *TE* modelleri için enine kayma gerilmesi  $\sigma_{YZ}$  ve enine şekil değişirmesi  $\varepsilon_{YZ}$  ( $x, y = z = 0$ )

Model	$y = 0, z = 0$					
	$(\sigma_{yz}) \times 10^3$ [Pa]			$(\varepsilon_{yz}) \times 10^{-8}$		
	$x = 0$	$x = \pm b/4$	$x = \pm b/2$	$x = 0$	$x = \pm b/4$	$x = \pm b/2$
$N = 1$	-0.122	-0.122	-0.122	-0.445	-0.445	-0.445
$N = 2$	-0.134	-0.133	-0.133	-0.486	-0.485	-0.483
$N = 3$	-0.183	-0.183	-0.182	-0.665	-0.665	-0.663
$N = 4$	-0.187	-0.186	-0.184	-0.678	-0.675	-0.670
$N = 5$	-0.185	-0.184	-0.183	-0.673	-0.669	-0.664
$N = 6$	-0.188	-0.186	-0.184	-0.684	-0.676	-0.668
$N = 7$	-0.188	-0.185	-0.183	-0.682	-0.673	-0.666
$N = 8$	-0.190	-0.186	-0.184	-0.691	-0.677	-0.667
$N = 9$	-0.190	-0.186	-0.183	-0.689	-0.675	-0.665

**Tablo 4.** Farklı *TE* modelleri için aksenal gerilme  $\sigma_{YY}$  ve aksenal şekil değişirme  $\varepsilon_{YY}$  ( $x, y = L/2, z = h/2$ )

Model	$y = L/2, z = h/2$					
	$(\sigma_{yy}) \times 10^3$ [Pa]			$(\varepsilon_{yy}) \times 10^{-7}$		
	$x = 0$	$x = \pm b/4$	$x = \pm b/2$	$x = 0$	$x = \pm b/4$	$x = \pm b/2$
$N = 1$	-0.924	-0.924	-0.924	-0.128	-0.128	-0.128
$N = 2$	-0.924	-0.924	-0.924	-0.129	-0.129	-0.129
$N = 3$	-0.939	-0.939	-0.939	-0.130	-0.130	-0.130
$N = 4$	-0.940	-0.940	-0.940	-0.130	-0.130	-0.130
$N = 5$	-0.940	-0.940	-0.940	-0.130	-0.130	-0.130

Tablo 5’de verilen sayısal sonuçlar incelendiğinde, kirişin açıklık ortası kesitinin ağırlık merkezindeki düşey yer değiştirme  $u_z$  değeri, aşağı yukarı  $-0.40 \cdot 10^{-7}$  m. civarlarında olmaktadır ve bu değerden sonra sonlu eleman sayısının artırılması, kullanılan kiriş modelinden bağımsız olarak (*LE* ve/veya *TE*) sadece *SDS*’nin önemli ölçüde artmasına sebep olurken, düşey yer değiştirme değerinde çok çok önemsiz artışlara sebep olmaktadır. Yine tablodaki sayısal sonuçlar incelendiğinde, düşey yer değiştirme değerinin aşağı yukarı benzer değerleri için, *LE* modelinin kullanılması durumunda *SDS*’nin çok daha az olduğu görülmektedir. Oysa basit kiriş probleminde, bu durumun tam tersi bir sonuç elde edilmiştir. Bir başka deyişle, aynı problemin farklı uç sınır koşullarına sahip olması durumunda, kullanılan kiriş modeli *SDS*’yi önemli ölçüde etkilemektedir. Ayrıca, basit kiriş probleminde elde edilen

düşey yer değiştirme değeri analitik çözüme % 0.0673 ‘lük bir hata oranı ile yakınsarken, bu problem için bu değer aşağı yukarı % 0.32’ler civarındadır. Yani, ele alınan kirişin iki ucunun ankastre olması durumunda, yakınsama çok daha zor gerçekleşmektedir.

Şekil 7’den görüleceği üzere *TE* kiriş modeli için açılım mertebesi  $N$  değerinin artması ile *SDS*’de artış göstermektedir; bu durum hesaplama yükünün ve süresinin artmasına sebep olacaktır.

Şekil 8’de ise *LE* kiriş modeli için, kesit düzlemi üzerinde alınan alt bölge sayısı arttırıldıkça, analitik çözüme yakınsama daha fazla olmakla birlikte *SDS*’de artış göstermektedir.

Şekil 9’da, ele alınan dikdörtgen kesitli iki ucu ankastre kirişin, verilen yükleme altında *LE* kiriş modeli durumuna ait deformasyonu örneklendirilmiştir.

**Tablo 5.** Farklı *LE* ve *TE* modelleri ve sonlu eleman sayısı için düşey yer değiştirme ( $u_z$ ) yakınsaması ( $x = 0, y = L/2, z = 0$ )

Sonlu eleman sayısı	$-u_z \times 10^{-7} (m)$									
	Kiriş modelleri									
	LE/SDS				TE/SDS					
	1L9	2L9	3L9	4L9	TE - 1	TE - 2	TE - 3	TE - 4	TE - 5	TE - 6
	SDS	SDS	SDS	SDS	SDS	SDS	SDS	SDS	SDS	SDS
12 B4	0.3727 999	0.3891 1665	0.3903 2331	0.3912 2997	0.3752 333	0.3726 666	0.3892 1110	0.3903 1665	0.3907 2331	0.3910 3108
16 B4	0.3757 1323	0.3922 2205	0.3935 3087	0.3944 3969	0.3778 441	0.3756 882	0.3923 1470	0.3935 2205	0.3939 3087	0.3942 4116
20 B4	0.3775 1647	0.3940 2745	0.3954 3843	0.3962 4941	0.3793 549	0.3774 1098	0.3941 1830	0.3954 2745	0.3958 3843	0.3961 5124
24 B4	0.3787 1971	0.3953 3285	0.3966 4599	0.3975 5913	0.3804 657	0.3786 1314	0.3954 2190	0.3967 3285	0.3971 4599	0.3974 6132
28 B4	0.3796 2295	0.3962 3825	0.3975 5355	0.3984 6885	0.3811 765	0.3794 1530	0.3962 2550	0.3976 3825	0.3980 5355	0.3983 7140
32 B4	0.3802 2619	0.3968 4365	0.3981 6111	0.3990 7857	0.3817 873	0.3800 1746	0.3969 2910	0.3982 4365	0.3986 6111	0.3990 8148
36 B4	0.3806 2943	0.3973 4905	0.3986 6867	0.3995 8829	0.3821 981	0.3805 1962	0.3974 3270	0.3987 4905	0.3991 6867	0.3995 9156
40 B4	0.3810 3267	0.3976 5445	0.3990 7623	0.3998 9801	0.3825 1089	0.3809 2178	0.3977 3630	0.3991 5445	0.3995 7623	0.3999 10164
44 B4	0.3813 3591	0.3980 5985	0.3994 8379	0.4002 10773	0.3828 1197	0.3812 2394	0.3981 3990	0.3995 5985	0.3999 8379	0.4002 11172
52 B4	0.3818 4239	0.3984 7065	0.3998 9891	0.4006 12717	0.3832 1413	0.3816 2826	0.3985 4710	0.4000 7065	0.4003 9891	0.4007 13188
56 B4	0.3819 4563	0.3986 7605	0.4000 10647	0.4008 13689	0.3834 1521	0.3818 3042	0.3987 5070	0.4002 7605	0.4006 10647	0.4009 14196
60 B4	0.3821 4887	0.3988 8145	0.4002 11403	0.4010 14661	0.3836 1629	0.3820 3258	0.3989 5430	0.4003 8145	0.4007 11403	0.4011 15204
64 B4	0.3822 5211	0.3989 8685	0.4003 12159	0.4011 15633	0.3836 1737	0.3821 3474	0.3990 5790	0.4005 8685	0.4008 12159	0.4012 16212

Analistik çöz. (14)

0.4023

Sonuç olarak iki ucu ankastre mesnet kiriş problemi için, *LE* tipi bir açılım modelinin *TE* tipi bir açılım modeline göre analitik çözüme hemen hemen aynı hata oranı ve fakat daha az sayıda *SDS* ile yakınsadığı görülmüştür. Bu problem için bundan sonra yapılacak statik analiz çalışmalarında daha az sayıda *SDS* sağlaması sebebiyle *LE* kiriş modelinin tercih edilmesi daha uygun olmasına karşın, bir önceki problem ile karşılaştırma olanağı sağlanabilmesi amacıyla farklı mertebelerden *TE* kiriş modeli kullanılacaktır. Ayrıca kiriş eksenini 60 adet *B4* tipi sonlu elemanlar (*60B4*) ile modellenecektir.

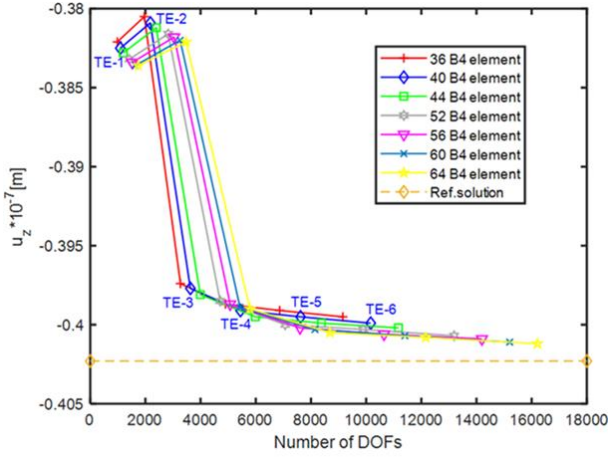
### 3.2.2 İki ucu ankastre kiriş static analiz

Ele alınan iki ucu ankastre kirişin kritik kesitlerinde gerilme ve şekil değiştirme analizi *CUF* çerçevesinde farklı mertebeden *TE* modelleri kullanılarak yapılmıştır. Söz konusu analizlerde gerilme ve şekil değiştirmelerin kalınlık

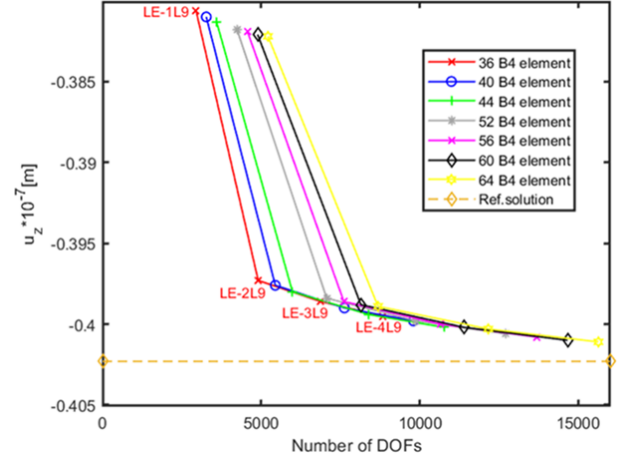
ve genişlik boyunca değişimleri incelenmiştir. Elde edilen sonuçlar aşağıda verilmiştir.

Şekil 10'da enine kayma gerilmesi  $\sigma_{YZ}$  ve enine şekil değiştirme  $\epsilon_{YZ}$  dağılımlarının  $y=0.1L$  kesiti için kalınlık boyunca farklı mertebeden *TE* modelleri ( $N=2\sim6$ ) için dağılımı görülmektedir. Kullanılan model mertebesinin ( $N$ ), hem enine kayma gerilmesi hem de enine şekil değiştirme üzerindeki büyük etkisi (özellikle  $N=2$ 'den sonra) açık bir şekilde görülmektedir. Meritbe değerinin en az  $N=3$  olması ile birlikte enine kayma gerilmesi ve enine şekil değiştirme değerlerinde yakınsama gerçekleşmiştir. Daha yüksek mertebeden açılım modeli kullanılması, sadece *SDS*'yi ve dolayısı ile hesaplama yükünün artmasına sebep olacaktır. Şekil 10'dan görüleceği üzere enine kayma gerilmesi  $\sigma_{YZ}$  ve enine şekil değiştirme  $\epsilon_{YZ}$  en büyük değerlerini  $y = 0.1L$  kesitinin ağırlık merkezinde almaktadırlar ( $x = 0, z = 0$ ).

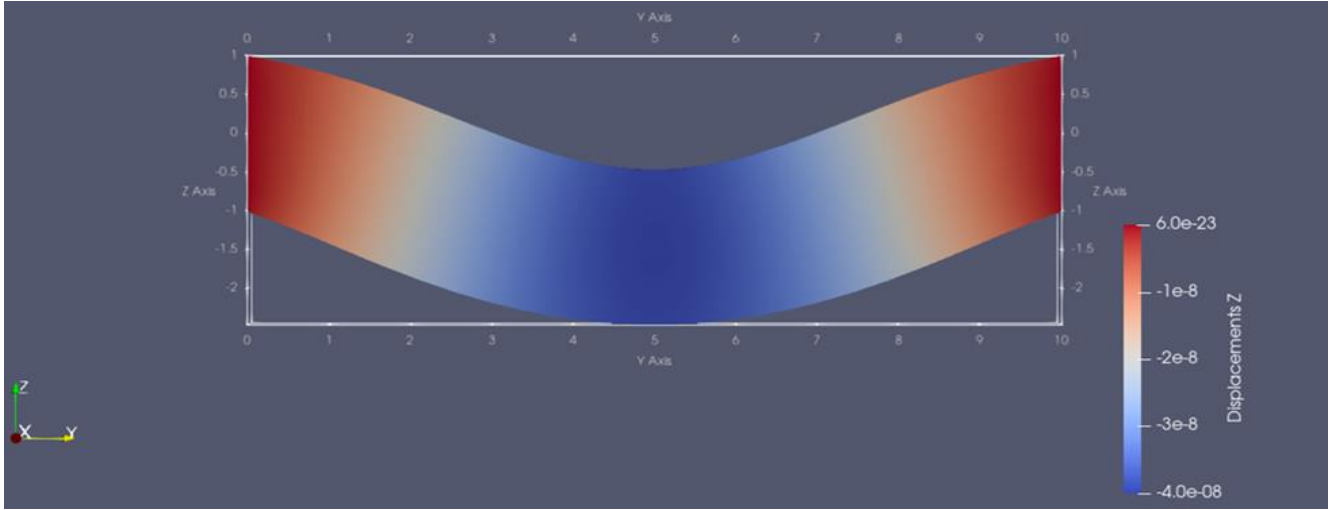




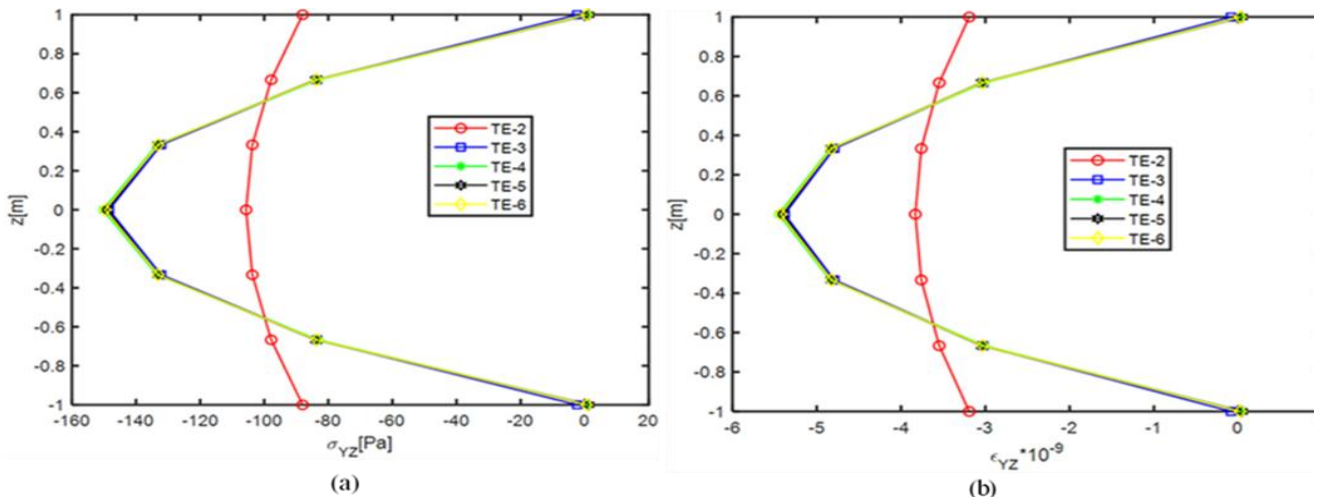
Şekil 7. Farklı mertebeden TE modelleri ve sonlu eleman sayısı için düşey yer değiştirme ( $u_z$ ) yakınsaması ( $x = 0, y = L/2, z = 0$ )



Şekil 8. Farklı LE modelleri ve sonlu eleman sayısı için düşey yer değiştirme ( $u_z$ ) yakınsaması ( $x = 0, y = L/2, z = 0$ )



Şekil 9. 60 B4 sonlu eleman modellemesi için LE – 4L9 tipi açılıma ait kiriş deformasyonu



Şekil 10. (a) Kalınlık boyunca enine kayma gerilmesi  $\sigma_{YZ}$ , (b) enine şekil değiştirme  $\epsilon_{YZ}$  dağılımları (b) ( $x = 0, y = 0.1L, z$ )

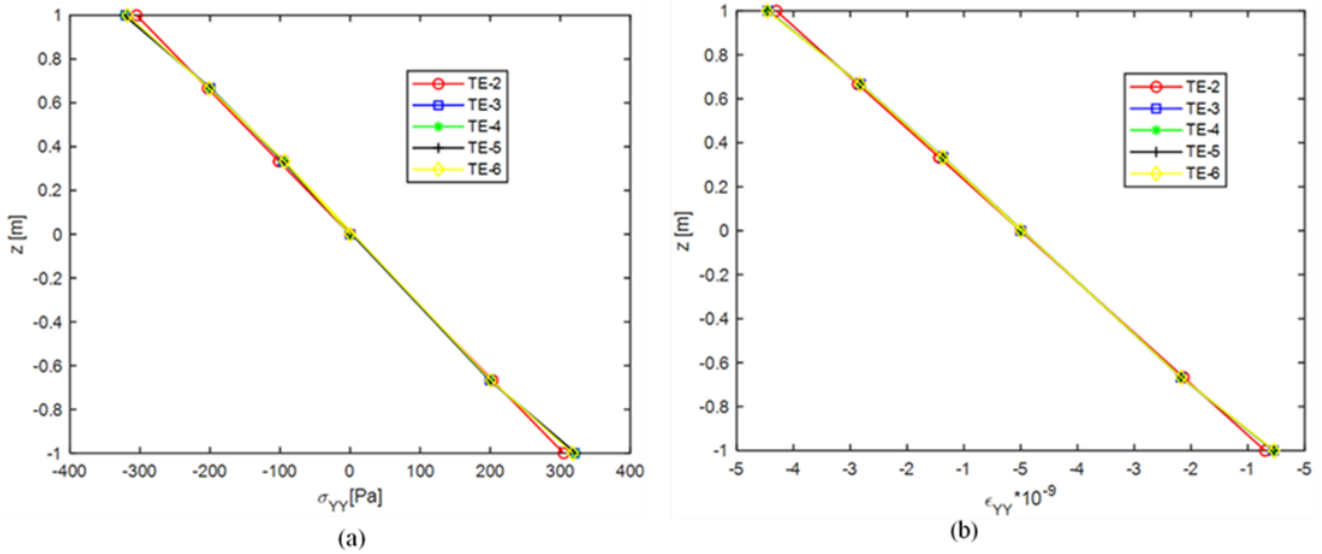
**Tablo 6.** Farklı *TE* modelleri için enine kayma gerilmesi  $\sigma_{YZ}$  ve enine şekil değişimi  $\varepsilon_{YZ}$  ( $x, y = 0.1L, z = 0$ )

Model	$y = 0.1L, z = 0$					
	$(\sigma_{yz}) \times 10^2$ [Pa]			$(\varepsilon_{yz}) \times 10^{-8}$		
	$x = 0$	$x = \pm b/4$	$x = \pm b/2$	$x = 0$	$x = \pm b/4$	$x = \pm b/2$
$N = 2$	-1.056	-1.055	-1.053	-0.383	-0.382	-0.381
$N = 3$	-1.483	-1.483	-1.482	-0.538	-0.537	-0.537
$N = 4$	-1.502	-1.498	-1.494	-0.544	-0.543	-0.542
$N = 5$	-1.490	-1.486	-1.482	-0.540	-0.539	-0.537
$N = 6$	-1.496	-1.486	-1.481	-0.542	-0.539	-0.537
$N = 7$	-1.494	-1.484	-1.479	-0.541	-0.538	-0.536
$N = 8$	-1.502	-1.484	-1.479	-0.544	-0.538	-0.536
$N = 9$	-1.502	-1.484	-1.479	-0.544	-0.538	-0.536

Şekil 11'de aksel gerilme  $\sigma_{YY}$  ve aksel şekil değişimi  $\varepsilon_{YY}$  dağılımlarının açıklık ortası kesiti için kalınlık boyunca farklı mertebeden *TE* modelleri ( $N = 2 \sim 6$ ) için dağılımı görülmektedir. Söz konusu kesitin özellikle alt ve üst liflerinde merite değerinin en az  $N = 3$  olması ile birlikte her iki büyüklük için yakınsama gerçekleşmiştir. Şekil 11'den görüleceği üzere aksel gerilme  $\sigma_{YY}$  ve

aksel şekil değişimi  $\varepsilon_{YY}$ , en büyük değerlerini bu kesitin alt ve üst liflerinde ( $x = 0, z = \pm h/2$ ) almaktadır.

Tablo 7'de bu iki büyüklüğün, üst lifler için kesit genişliği boyunca kritik noktadaki değerleri, *TE* giriş modeli mertebesinin farklı değerleri için verilmiştir. Tablodan görüleceği üzere  $N = 3$ 'den itibaren her iki değerde yakınsama görülmekte olup  $N = 4$  değerinde ise bu değerler sabit olarak kalmaktadırlar.



**Şekil 11.** (a) Kalınlık boyunca aksel gerilme  $\sigma_{YY}$ , (b) aksel şekil değişimi  $\varepsilon_{YY}$  dağılımları ( $x=0, y=L/2, z$ )

**Tablo 7.** Farklı *TE* modelleri için aksenal gerilme  $\sigma_{YY}$  ve aksenal şekil değiştirme  $\varepsilon_{YY}$  ( $x, y = L/2, z = h/2$ )

Model	$y = L/2, z = h/2$					
	$(\sigma_{yy}) \times 10^3$ [Pa]			$(\varepsilon_{yy}) \times 10^{-8}$		
	$x = 0$	$x = \pm b/4$	$x = \pm b/2$	$x = 0$	$x = \pm b/4$	$x = \pm b/2$
$N = 2$	-0.304	-0.3049	-0.3049	-0.4302	-0.4302	-0.4302
$N = 3$	-0.320	$\mp$ 0.320	-0.320	-0.445	$\mp$ 0.445	-0.445
$N = 4$	-0.322	$\mp$ 0.322	-0.322	-0.445	$\mp$ 0.445	-0.445
$N = 5$	-0.322	$\mp$ 0.322	-0.322	-0.445	$\mp$ 0.445	-0.445

#### 4 Sonuçlar

Bu çalışmada elde edilen sonuçlar aşağıda maddeler halinde verilmiştir.

- *CUF* çerçevesinde kullanılacak açılım modelinin tipi, problemin uç sınır koşullarına daha az sayıda serbestlik derecesi bakımından bağlıdır.
- Ele alınan basit kiriş probleminde, *TE* kullanılması ile analitik çözüme yakınsama çok daha az sayıda *SDS* ile gerçekleşmektedir.
- Ele alınan ankastre kiriş probleminde, *LE* kullanılması ile analitik çözüme yakınsama çok daha az sayıda *SDS* ile gerçekleşmektedir.
- Enine kayma gerilmesi  $\sigma_{YZ}$  ve enine şekil değiştirme  $\varepsilon_{YZ}$  için Taylor tipi bir kiriş modelinde *TE* açılım mertebesinin en az  $N = 3$  olması gerekmektedir.
- Aksenal gerilme  $\sigma_{YY}$  ve aksenal şekil değiştirme  $\varepsilon_{YY}$  için Taylor tipi bir kiriş modelinde *TE* açılım mertebesinin en az  $N = 3$  olması gerekmektedir.

#### Teşekkür

Bu çalışmanın gerçekleşmesinde değerli katkılarını esirgemeyen Sayın Prof. Dr. Erasmo Carrera'ya en derin saygılarımı sunarım.

#### Çıkar çatışması

Yazar çıkar çatışması olmadığını beyan etmektedir.

#### Benzerlik oranı (iThenticate): %13

#### Kaynaklar

- [1] D. T. Mucichescu, Bounds for stiffness of prismatic beams. Journal of Structural Engineering, 110, 1410-14, 1984.
- [2] E. Carrera, G. Giunta and M. Petrolo, Beam Structures: Classical and Advanced Theories. JohnWiley & Sons, United Kingdom: Chichester, West Sussex, 2011.
- [3] H. T. Thai and T. P. Vo, Bending and Free Vibration of Functionally Graded Beams Using Various Higher-order Shear Deformation Beam Theories. International Journal of Mechanical Sciences, 62(1), 57-66, 2012. <https://doi.org/10.1016/j.ijmecsci.2012.05.014>.

- [4] K. K. Pradhan and S. Chakraverty, Effects of Different Shear Deformation Theories on Free Vibration of Functionally Graded Beams. International Journal of Mechanical Sciences, 82, 149-60, 2014. <https://doi.org/10.1016/j.ijmecsci.2014.03.014>.
- [5] M. A. Levinson, An accurate simple theory of statics and Dynamics of elastic plates. Mech. Res. Commun., 7(6), 343-50, 1980. [https://doi.org/10.1016/0093-6413\(80\)90049-X](https://doi.org/10.1016/0093-6413(80)90049-X).
- [6] M. A. Levinson, A new rectangular beam theory. Journal of Sound and Vibration, 74(1), 81-7, 1981. [https://doi.org/10.1016/0022-460X\(81\)90493-4](https://doi.org/10.1016/0022-460X(81)90493-4).
- [7] M. Z. Wang and W. Wang, A refined theory of beams. J. Eng. Mech., Suppl., 324-327, 2003.
- [8] Y. Gao and M. Wang, A refined theory of rectangular deep beams based on general solutions of elasticity. Sci. China Ser. G, 36(3), 286-97, 2006.
- [9] A. Bekhadda, et al., Static buckling and vibration analysis of continuously graded ceramic-metal beams using a refined higher order shear deformation theory. Multidiscipline Modeling In Materials And Structures, 15(6), 1152-69, 2019.
- [10] J. Cai and C. D. Moen, Elastic buckling analysis of thin-walled structural members with rectangular holes using generalized beam theory. Thin-Walled Structures, 107, 274-86, 2016. <https://doi.org/10.1016/j.tws.2016.06.014>.
- [11] E. Carrera, A. Pagani, M. Petrolo, et al., Recent developments on refined theories for beams with applications. Mechanical Engineering Reviews, 2 (2), 14-00298, 2015. <https://doi.org/10.1299/mer.14-00298>.
- [12] E. Carrera, A. G. de Miguel, and A. Pagani, Extension of MITC to higher-order beam models and shear locking analysis for compact, thin-walled, and composite structures. International Journal For Numerical Methods In Engineering, 112(13), 1889-908, 2017. <https://doi.org/10.1002/nme.5588>.
- [13] S. Richard, Generalized Beam Theory-an adequate method for coupled stability problems. Thin-Walled Structures, 19(2-4), 161-80, 1994.
- [14] G. Taig and G. Ranzi, Generalised Beam Theory (GBT) for composite beams with partial shear interaction. Engineering Structures, 99, 582-602, 2015. <https://doi.org/10.1016/j.engstruct.2015.05.025>.
- [15] S. W. Tsai, Composites Design. Dayton, Think Composites, 1988.
- [16] J. N. Reddy, Mechanics of laminated composite plates and shells. Theory and Analysis. CRC Press, 2004.
- [17] K. Bathe, Finite element procedure. Prentice Hall, Englewood Cliffs, NJ, 1996.
- [18] S. Timoshenko and J. N. Goodier, Theory of Elasticity. McGraw-Hill Book Company, Inc., 1951.
- [19] G. Shi and G. Z. Voyiadjis, A sixth-order theory of shear deformable beams with variational consistent boundary conditions. J. Appl. Mech. 78(2), 021019-1-021019-11, 2011.

